



ارتباط پروفایل لیپیدی پلاسمما با شاخص‌های بافت‌شناسی بیضه در خروس‌های مادر گوشتی

امین کاظمی‌زاده^۱، احمدزارع شحنه^۲، مهدی حیدری^۳، محبوب محمدی^۴ و زربخت انصاری پیرسرایی^۰

^۰، ^۱ و ^۴- دانش آموخته کارشناسی ارشد، دانشگاه گروه علوم دامی، دانشگاه تهران

^۲- استاد گروه علوم دامی، دانشگاه تهران (نویسنده مسؤول: azareh@ut.ac.ir)

^۳- دانشگاه گروه علوم دامی، دانشگاه علوم کشاورزی و منابع طبیعی ساری

تاریخ دریافت: ۹۷/۲/۲۱ تاریخ پذیرش: ۹۷/۴/۳

چکیده

هدف این پژوهش، مطالعه‌ی همبستگی پروفایل لیپیدی پلاسمما با شاخص‌های بافت‌شناسی بیضه در خروس‌های مادر گوشتی بود. پژوهش حاضر بر روی ۱۲ قطعه خروس مادر گوشتی سویه راس ۳۰۸ انجام شد. برای اندازه‌گیری غلظت کلسترول، تری‌گلیسرید، لیپوپروتئین با دانسته کم LDL، لیپوپروتئین با دانسته بالا HDL و گلوکز، نمونه خون از سیاه‌رگ زیر بال جمع‌آوری شد. فرستنده‌های غلظت کلسترول، تری‌گلیسرید، LDL با روش اسیکتروفوتومتری و همچنین غلظت گلوکز با روش الکتروشیمیایی اندازه‌گیری شد. جهت بررسی شاخص‌های بافت‌شناسی بیضه (شاخص اندوکرینی بیضه)، مقاطع پارافینی پنج میکرومتری بافت بیضه استفاده شد. نتایج این پژوهش نشان داد که مقدار غلظت پلاسمایی HDL با تعداد سلول‌های لایدیک ($r=+0.1$)، تعداد سلول‌های اسپرماتوگونی ($r=+0.92$)، ضخامت اپیتلیوم لوله‌های اسپرم‌ساز ($r=+0.1$) و قطر لوله‌های سeminiferous ($r=+0.86$) و قطر لوله‌های سینیفر ($r=+0.62$) همبستگی مثبت دارد. اما میزان غلظت پلاسمایی کلسترول و گلوکز به ترتیب با تعداد سلول‌های لایدیک ($r=-0.69$)، ضخامت اپیتلیوم ($r=-0.78$)، اسپرم‌ساز ($r=-0.77$)، ضخامت اپیتلیوم لوله‌های اسپرم‌ساز ($r=-0.80$) و قطر لوله‌های سینیفر ($r=-0.82$) همبستگی منفی داشت. LDL نیز با تعداد سلول‌های اسپرماتوگونی ($r=-0.1$) و قطر لوله‌های اسپرم‌ساز ($r=-0.39$) همبستگی منفی نشان داد. همچنین تری‌گلیسرید با تعداد سلول‌های اسپرماتوگونی ($r=-0.79$)، ضخامت اپیتلیوم لوله‌های اسپرم‌ساز ($r=-0.71$) و قطر لوله‌های سینیفر ($r=-0.76$) همبستگی منفی داشت. به طور کلی، لیپوپروتئین HDL با شاخص‌های هیستولوژی بافت بیضه همبستگی مثبت دارد، اما تری‌گلیسرید، کلسترول، لیپوپروتئین LDL و گلوکز رابطه منفی نشان داد.

واژه‌های کلیدی: بافت‌شناسی، بیضه، پلاسمما، لیپید، خروس مادر گوشتی

اندام‌های هدف را بر عهده دارند (۱۱). بنابراین جذب لیپید در اندام‌های هدف عمدتاً با واسطه‌ای گیرنده‌های لیپوپروتئین صورت می‌گیرید (۱۲). بالا بودن سطح لیپیدی سرم خون منجر به بروز تنفس اکسیداتیو، تغییرات ساختاری گسترده در بافت بیضه در موش صحرایی می‌شود (۱۴). درنتیجه پیشنهاد کردند که با مکمل سازی مواد خوراکی از جمله پور دارچین می‌توان ظرفیت آنتی اکسیدانت را بهبود بخشید و از این طریق بخشی از آسیب‌های ناشی از تنفس اکسیداتیو را کاهش داد (۱۰، ۳۰). همچنین بالا بودن میزان تنزی گلیسرید و کلسترول می‌تواند سبب ایجاد تغییرات غیرطبیعی در مروفولوژی سلول‌های جنسی مختلف در لوله‌های اسپرم‌ساز بیضه انسان شود (۲۴). مورگان و همکاران (۲۰) گزارش نموده‌اند که افزایش میزان کلسترول موجب نارسانی ساختار بافت‌شناسی بیضه و فیزیولوژیکی سد خونی - بیضه‌ای می‌شود و این امر به نوبه خود منجر به ناباروری می‌شود. میزان و نوع لیپیدهای موجود در ساختار دم اسپرم، نقش بسیار مهمی در باروری دارد (۲۸)، به طوری که تغییرات غیرقابل برگشت غشای فسفولیپیدی اسپرم در اثر پر اکسیداسیون لیپیدها از عوامل اصلی کاهش باروری به شمار می‌آید (۱۶). مطالعات قبلی اثبات کردند که در طول روند اسپرماتوزندر حیوانات نر، تبدیل سلول نابالغ جنسی به اسپرماتوزندر، به طور مستقیم وابسته به حضور مقادیر بالایی اسیدهای چرب غیراشباع در ساختار بیضه است (۲۸). افزایش غیرطبیعی سطح تری‌گلیسرید سرم موجب

یکی از مشکلات صنعت مرغ مادر، تجمع چربی‌های بطی니 و افزایش شاخص‌های چربی پلاسمما با پیشرفت دوره‌ی تولید است. این تغییرات، مرغ و خروس‌ها را مستعد استلا به بیماری‌های متابولیک و کاهش بازوری می‌کند (۲۴). بخش شایان توجهی از فسفولیپیدهای غشای اسپرم خروس را اسیدهای چرب امگا ۶ تشکیل می‌دهد. دو کوواترانویک اسید (DTA)، ۱۷ تا ۳۰ درصد و آرشیدیونیک اسید، ۱۱ تا ۱۳ درصد کل اسیدهای چرب غشای اسپرم را تشکیل می‌دهند و درصد اسیدهای چرب غشای اسپرم را تشکیل می‌دهند (۵-۱). لیپیدهای اسپرم در سوت و ساز اسپرم، جنبایی، زنده‌مانی، حساسیت اسپرم به کاهش دما و سیالیت غشای اسپرم نقش دارند (۱۵). وجود رابطه منفی بین وزن بدن و سطح چربی‌های ذخیره‌ای با شایستگی تولید متمیز در طیور به تأیید رسیده است و این امر توانایی تولید در گله‌های مرغ مادر گوشتی را بهشدت محدود می‌کند (۲۴). پایین بودن کیفیت اسپرماتوزنیدهای موجب ناباروری و کم باروری حیوان شده و بخش عده‌ای از سرمایه پرورش دهنده را هدر می‌دهند. از طرف دیگری شواهدی وجود دارد که افزودن مکمل‌های غذایی حاوی اسیدهای چرب غیراشباع به خوارک دام و طیور موجب افزایش اسپرماتوزندر، بهبود کیفیت اسپرماتوزنید و بالا رفتن میزان باروری می‌شود (۲۸). لیپوپروتئین‌ها وظیفه جابه‌جای از قبیل کلسترول را بین بافت‌های ترشح کننده و

دانشگاه تهران انجام شد. ۱۲ قطعه خروس مادر گوشتی با میانگین وزن اوایله 0.23 ± 0.05 کیلوگرم از یک گله‌ی تجاری که تا ۴۷ هفته‌گی بر اساس راهنمای مدیریتی راس ۳۰۸ پرورش داده شده بودند، انتخاب و به صورت تصادفی به چهار گروه سه‌تایی تقسیم شدند، سپس هرگروه به صورت جداگانه در پن‌های 4×1.25 متری و تحت شرایط محدودیت غذایی و در دمای $18-21$ درجه سلسیوس با دوره نوری ۱۴ ساعت روشناختی ۱۰ ساعت تاریکی نگهداری شدند. جیره پایه بر اساس توصیه میزان مواد غذایی پیشنهادی تدوین کاتالوگ راس 308 ، (2016) تنظیم شده و ترکیبات خوارکی و احتیاجات موادغذایی از NRC طیور 1994 با استفاده از نرم‌افزار WUFFDA انجام شد (جدول ۱). آب به صورت آزاد در دسترس آن‌ها قرار گرفت.

کاهش حرک اسپرماتوزید در انسان (۷) و اختلال در انجام واکنش آکروزی در سر اسپرماتوزید خرگوش می‌شود (۴). بنابراین، با توجه به اینکه در مورد ارتباط پروفایل لیپیدی پلاسمبا شاخص‌های بافت‌شناسی بیضه در خروس‌های مادر گوشتی مطالعه‌ی جامعه‌ای صورت نگرفته و مطالعه در این مورد می‌تواند بخش قابل توجهی از مشکلات باروری را شناسایی و کاهش دهد، هدف از این پژوهش، بررسی ارتباط پروفایل لیپیدی پلاسمبا شاخص‌های بافت‌شناسی بیضه در خروس‌های مادر گوشتی راس 308 است.

مواد و روش‌ها

پرنده‌ها، شرایط محیطی

این پژوهش، در مهر ماه سال ۱۳۹۵ در ایستگاه آموزشی و پژوهشی علوم دامی، پردیس کشاورزی و منابع طبیعی

جدول ۱- اجزاء و ترکیب شیمیایی جیره استاندارد خروس

Table 1. Ingredient and chemical composition of standard diet fed by roosters

ترکیب جیره (%)	درصد مواد مغذی جیره
ذرت	۶۹/۰۰
سویا	۸/۵۰
سوس گندم	۱۹/۵۰
دی کلسبیم فسفات	۱/۲۵
کربنات کلسیم	۰/۸۰
سدیم کلراید	۰/۳۳
مکمل ویتامینی [†]	۰/۲۵
مکمل معدنی [‡]	۰/۲۵
انرژی سوخت و سازی (kcal/kg)	۲۷۵۴/۵
پروتئین خام	۱۲/۰۰
کلسیم	۰/۷۰
فسفر	۰/۳۵
سدیم	۰/۱۵
کلر	۰/۱۵

[†] هر کیلوگرم جیره دارای 1500 واحد بین المللی ویتامین A، 100 واحد بین المللی ویتامین E، 4 میلی گرم ویتامین K₃، 25 میکرو گرم ویتامین B₁₂، 3000 واحد بین المللی ویتامین D₃، $7/5$ میلی گرم B₂، $5/0$ میلی گرم B₃، 18 میلی گرم B₆ و $5/5$ میکرو گرم B₇ بود. [‡] هر کیلوگرم جیره دارای 50 میلی گرم آهن، 50 میلی گرم روی، 120 میلی گرم مونیمیوم، 10 میلی گرم روی، 2 میلی گرم ید و $0/3$ میلی گرم سنلیوم بود.

بافت‌شناسی بیضه

پس از نمونه‌گیری، جهت ثبت نمونه‌ها، بافت‌ها به مدت ۲۴ ساعت در محلول بوئن و سپس به مدت ۷۲ ساعت در محلول فرمالین 10 درصد قرار داده شد. در ادامه، هر نمونه به سه قسمت مساوی تقسیم شده و از قسمت میانی آن‌ها جهت فرآیند آماده‌سازی بافت و تهیه بلوک‌های پارافینی استفاده گردید. به طور خلاصه، نمونه‌ها تهیه شده به درون دستگاه پردازش‌گر بافت (Model: DS 2080) ساخت کشور ایران) منتقل شدند. ترتیب محلول‌های دستگاه شامل محلول 1 و 2 دارای فرمالین 10 درصد، محلول 3 دارای الكل 70 درصد، محلول 4 دارای الكل 80 درصد، محلول 5 الكل 90 درصد و محلول 6 الكل 96 درصد بود. افزایشی بودن درصد الكل‌ها برای آبگیری آهسته بود. محلول 7 و 8 دارای الكل مطلق یا 100 درصد و محلول 9 و 10 گزیلول بود، که شفاف‌سازی بافت و خروج الكل از آن را بر عهده داشتند و در نهایت محلول‌های 11 و 12 پارافین بود. پس از پایان مراحل

اندازه‌گیری فراسنجه‌های خونی

خون گیری از پرنده‌گان از سیاهرگ بال (ساعت شش صبح قبل از مصرف خوراک) انجام گرفت. پس از خون گیری، سریعاً غلظت گلوكز با روش الکتروشیمیایی و با استفاده از دستگاه گلوكزسنج (Glucocard 01, Arkway, Japan) انعقاد (EDTA) ریخته و سپس سانتریفیوز (20 دقیقه $3500 \times g$) شد. نمونه‌های پلاسمما به میکروتیوب‌های $0/5$ میلی‌لیتری ریخته شده و در دمای -20 درجه سلسیوس نگهداری شد. در نهایت غلظت کلسترول (ضریب پراکنش: $0/13$)، تری‌گلیسرید (ضریب پراکنش: $0/14$)، لیپوپروتئین‌های با دانسیته کم (LDL: ضریب پراکنش: $0/13$) و لیپوپروتئین‌های با دانسیته بالا (HDL: ضریب پراکنش: $0/16$) با روش اسپکتروفوتومتری و با استفاده از کیت‌های تجاری شرکت پارس آزمون اندازه‌گیری و بر اساس دستورالعمل شرکت سازنده اندازه‌گیری شد.

داد، به علاوه HDL بیشترین میزان لیپوپروتئین‌ها پلاسما بوده و LDL در سطح خیلی پایین تری قرار داشت. تغییراتی که در متابولیت‌های خونی مانند پروفیل چربی‌های پلاسمایی صورت می‌گیرد می‌تواند با افزایش وزن بدن و کاهش تولید مرتبه باشد. اندازه گیری این ترکیبات نمایانگر وضعیت متابولیکی و سطح ذخیره چربی‌های بدن می‌باشد و از این طریق می‌توان تضمینات مدیریتی بهتری جهت بهبود وضعیت متابولیسم و تولید مثل خروس‌های مادر گوشتی اتخاذ نمود. نتایج مربوط به ارتباط پروفیل‌های لیپیدی با فراسنجه‌های بافت‌شناسی بیضه و میزان همبستگی بین آن‌ها در جدول (۴) آورده شده است. نتایج مطالعه حاضر نشان می‌دهد که مقادیر مربوط به فراسنجه‌های پروفایل لیپیدی پلاسما می‌تواند با شاخص‌های بافت‌شناسی بیضه ارتباط مثبت و منفی داشته باشد؛ به طوری که میزان غلظت پلاسمایی کلسترول با تعداد سلول‌های لایدیگ ($p < 0.01$)، تعداد سلول‌های اسپرماتوگونی ($p < 0.001$)، ضخامت اپیتلیوم لوله‌های اسپرم ساز ($p < 0.001$) و قطر لوله‌های سینی فر ($p < 0.01$) همبستگی منفی نشان داد؛ کلسترول یک ماده ضروری در تشکیل سلول است و در بیوستر هورمون‌های استروئیدی نقش دارد، اما بالا بودن میزان آن در بدن می‌تواند همواره به عنوان یک فاکتور خطرناک باشد (۵). از آنجایی که جیره غذایی نقش مهمی در تنظیم کلسترول خون دارد و به عنوان مثل، جذب بیش از حد انژری، تولید VLDL را افزایش می‌دهد که به عنوان پیش‌ساز LDL در گردش خون عمل می‌نماید (۲۵). محققین نشان دادند افزایش کلسترول در بدن موجب افزایش وزن بدن می‌شود، که این افزایش چربی در کیسه اسکرتووم انباسته می‌شود و اسپرماتوژن و عملکرد سیستم تولید مثلی نر را تحت تاثیر قرار می‌دهد (۲۶). در راستای نتایج پژوهش حاضر، فرخی و همکاران (۹) گزارش کردند که هیپرکلسترولیم ضخامت اپیتلیوم منی‌ساز و قطر لوله‌های اسپرم ساز را کاهش می‌دهد که ممکن است به دلیل کاهش در تعداد سلول‌های سرتولی و جنسی در اثر آپوتوزیس که منجر به اختلال در ساختار بیضه و روند فرآیند اسپرماتوژن می‌شود. غلظت پلاسمایی تری گلیسرید با وزن بیضه، تعداد سلول‌های لایدیگ و تعداد رگ‌خونی همبستگی نداشت، ولی با تعداد سلول‌های اسپرماتوگونی ($p < 0.001$)، ضخامت اپیتلیوم لوله‌های اسپرم ساز ($p < 0.01$) و قطر لوله‌های سینی فر ($p < 0.01$) همبستگی منفی نشان داد. در توافق با پژوهش حاضر، در مطالعه‌ای لوئی منفرد و همکاران (۱۸) روی موش آزمایشگاهی که به بررسی ارتباط بین مقادیر پروفیل‌های لیپیدی با شاخص‌های آناتومیک و هیستومورفومتریک بیضه با میزان لیپیدها و لیپوپروتئین‌ها سرم خون بود، نشان دادند از بین لیپیدها و لیپوپروتئین‌ها مختلف تنها میزان HDL با قطر سلول‌های لایدیگ، ضخامت اپیتلیوم اسپرم ساز همبستگی مثبت داشت؛ ولی مقادیر تری گلیسرید با قطر سلول لایدیگ و میزان ضخامت اپیتلیوم و قطر لوله‌های سینی فر همبستگی منفی داشت. از مهم‌ترین دلایل این ارتباط منفی این است که لیپیدهای غیرقطبی مانند

فرآیندسازی بافت، نمونه‌ها در پارافین قالب‌گیری و با استفاده از دستگاه میکروتوم دوار (Model: DS4055)، ساخت کشور ایران، برش‌های ۵ میکرومتری تهیه شد. از هر نمونه بافت بیضه چهار اسلاید تهیه و برای رنگ آمیزی هماتوکسیلین و ائوزین استفاده شد. بدین منظور، اسلایدها را در گیره رنگ آمیزی قرار داده شد و سپس به مدت ۳۰ دقیقه درون آون سلیسیوس قرار داده شد. سپس گیره‌ی حاوی اسلايدها به ترتیب به درون محلول‌هایی که در ادامه ذکر شده است، انتقال یافتند. (۱) گزیلوول (۵ دقیقه)، (۲) گزیلوول (۱۰ دقیقه)، (۳) گزیلوول (۱۵ دقیقه)، (۴) گزیلوول (۲۰ دقیقه)، (۵) گزیلوول (۲۵ دقیقه)، (۶) گزیلوول (۳۰ دقیقه)، (۷) گزیلوول (۳۵ دقیقه)، (۸) گزیلوول (۴۰ دقیقه)، (۹) گزیلوول (۴۵ دقیقه)، (۱۰) گزیلوول (۵۰ دقیقه)، (۱۱) گزیلوول (۵۵ دقیقه)، (۱۲) گزیلوول (۶۰ دقیقه)، (۱۳) گزیلوول (۶۵ دقیقه)، (۱۴) گزیلوول (۷۰ دقیقه)، (۱۵) گزیلوول (۷۵ دقیقه)، (۱۶) گزیلوول (۸۰ دقیقه)، (۱۷) گزیلوول (۸۵ دقیقه)، (۱۸) گزیلوول (۹۰ دقیقه). محلول‌های ۱ و ۲ برای پارافین‌زدایی، محلول‌های ۳ تا ۶ برای آبدھی، محلول ۱۰ برای تمایز، محلول‌های ۱۳ تا ۱۶ برای آبدگیری و محلول‌های ۱۷ و ۱۸ برای شفافسازی استفاده شد. سپس بر روی اسلايدهای تهیه شده، لامل چسبانده شد (مونت کردن) و تا زمان ارزیابی درون جعبه نگهداری لام قرار گرفتند.

ویخت‌شناسی بافت بیضه

۲۰ عکس گرفته شده از هر اسلايد با میکروسکوب نوری (Labomed Inc., Los Angeles, USA) $\times 100$ به دست آمد و با نرم‌افزار J (National Image Analysis, Bethesda, MD) برای ارزیابی شد. برای هر نمونه، قطر لوله اسپرم ساز، ضخامت بافت پوششی اوله اسپرم ساز و شمار سلول‌های اسپرماتوگونی با شمارش مقاطع عرضی ۲۰ لوله اسپرم ساز به طور تصادفی و میانگین گیری از آن‌ها به دست آمد (۱۴). تعداد سلول‌های لایدیگ و رگ‌های خونی نیز در هر عکس در (مساحت 0.39 میلی‌متر مربع) شمارش و میانگین گرفته شد.

واکاوی آماری

برای میانگین و انحراف معیار مقادیر لیپیدهای پلاسما و هم چنین شاخص‌های هیستولوژی بافت بیضه از آمار توصیفی استفاده شد. و سپس از آزمون Wilk-Shapiroe-Towitz نرمال داده‌ها استفاده گردید. برای بررسی مقادیر پروفیل‌های لیپیدی با شاخص‌های بافت‌شناسی بیضه از آزمون همبستگی پیرسون استفاده شد.

نتایج و بحث

میانگین و انحراف معیار مقادیر غلظت پروفیل‌های لیپیدی پلاسما و مقادیر فراسنجه‌های بافت‌شناسی بیضه در خروس مادر گوشتی را در ۳۰۸ مورد مطالعه در جدول (۲ و ۳) نشان داده شده است، بر این اساس گلوکز بیش ترین غلظت را نشان

HDL می‌باشد. در این مورد، برخی محققین تعداد گیرنده‌های HDL موجود در بافت‌های مختلف را مورد مطالعه قرار داده‌اند و اثبات نموده‌اند که ورود HDL به سلول‌های کورتکس ادرنال (۱۰) و همچنین سلول‌های گرانولوزای تخمدان (۱) عمده‌تاً بر اساس آندوسیتوز وابسته به گیرنده می‌باشد. بنابراین می‌توان گفت که ممکن است تعداد گیرنده‌های HDL در بافت بیضه بیشتر از گیرنده‌های سایر لیپیدها و لیپوپروتئین‌ها باشد. ج- مطالعات قبلی نشان داده‌اند که سلول‌های سرتولی نقش تعذیه سلول‌های جنسی موجود در بیضه با مواد مغذی مختلف از جمله لیپیدها را بر عهده دارند (۲۱، ۲۸)، همچنین سد موجود در بین لوله‌های اسپرم‌ساز و مویرگ‌های خونی بیضه، از عبور لیپوپروتئین LDL جلوگیری نموده و تنها اجازه تبادل ذرات HDL و تحويل کلسترول موجود در آن را به سلول‌های سرتولی می‌دهد (۱۷). بنابراین می‌توان تیجه گرفت که در ساختار بیضه، کلسترول موجود در HDL در مقایسه با سایر ترکیبات لیپیدی پلاسمما، جهت تعذیه در مقایسه با سایر لیپیدها را می‌توان نیز مورد استفاده قرار سلول‌های جنسی در حال ساخت نیز مورد استفاده قرار می‌گیرد. در راستای پژوهش حاضر، پدررون و همکاران (۲۲) گزارش کردند که در انسان بین HDL با ساختار بافت بیضه و اسپرم‌اتوژن همبستگی مثبت وجود دارد. بنابراین می‌توان گفت با توجه به پژوهش حاضر و مطالعات قبلی نتیجه گرفت که در ساختار بیضه، کلسترول موجود در HDL در مقایسه با سایر لیپوپروتئین و لیپیدها، برای بهمود ساختار بیضه و تعدیل سلول‌های جنسی مورد استفاده قرار می‌گیرد. غلظت پلاسمایی لیپوپروتئین LDL با تعداد سلول‌های اسپرم‌اتوژنی ($t=0/01$, $p<0.01$) و قطر لوله‌های اسپرم‌ساز ($t=0/001$, $p<0.001$) با تعداد سلول‌های لیپوپروتئین HDL با تعداد سلول‌های لایدیگ ($t=0/001$, $p<0.001$)، تعداد سلول‌های اسپرم‌اتوژنی ($t=0/02$, $p<0.02$)، ضخامت اپتیلیوم لوله‌های اسپرم‌ساز ($t=0/001$, $p<0.001$) و قطر لوله‌های سمنینی فر ($t=0/02$, $p<0.02$) همبستگی مثبت نشان داد، و با تعداد رگ‌های خونی و وزن بیضه همبستگی نداشت. در راستای نتایج حاضر، مطالعات قبلی نشان داده‌اند که در موش سلول‌های لایدیگ بیضه برای استروئیدوژن عدتاً کلسترول موجود در HDL را مورد استفاده قرار می‌دهد (۱۳)، مهم ترین دلایلی که در مورد به کارگیری HDL در مقایسه با سایر لیپوپروتئین‌های پلاسمما در بافت بیضه می‌توان گفت: الف- ساختار بیوشیمیای HDL به گونه‌ای است که در مقایسه با سایر لیپوپروتئین‌ها دارای بیشترین درصد فسفولیپید و کمترین درصد تری‌گلیسرید است (۱۹). بنابراین هیدرولیز HDL توسط لیپاز منجر به تولید مقادیر فراوانی فسفولیپید می‌شود. فسفولیپید حاصله به راحتی از سدهای لیپیدی اکثر بافت‌ها از جمله بیضه عبور می‌نماید (۱). ب- یکی دیگر از علل قابل طرح برای اثرات مستقیم میزان HDL بر روی فعالیت آندوکرینی بافت بیضه، تعداد گیرنده‌های بافتی و تئوری آندوسیتوز وابسته به گیرنده

تری‌گلیسرید به میزان ناچیز در ساخت اسپرم‌اتوژن مورد استفاده قرار می‌گیرند (۲۸). مطابق با نتایج پژوهش حاضر، رانا و همکاران (۲۳) نشان داده‌اند که در انسان افزایش تری‌گلیسرید اثرات زیان باری بر روی عملکرد بیضه و روند اسپرم‌اتوژن دارد. علاوه بر این لوثی منفرد و همکاران (۲۰) در مطالعه‌ای بر روی موش صحرایی گزارش کرده‌اند که میزان تری‌گلیسرید با قطر سلول‌های لایدیگ و ضخامت اپتیلیوم لوله‌های اسپرم‌ساز بیضه همبستگی منفی دارد؛ ولی میزان HDL با قطر سلول لایدیگ و قطر لوله‌های اسپرم‌ساز همبستگی مثبت دارد، که با نتایج به دست آمده از پژوهش حاضر مطابقت داشت. همچنین در یک مطالعه‌ای که در آن ارتباط بین پروفیل‌های لیپیدی سرم خون با مقادیر تستوسترون و ساختار بافتی بیضه در بز بررسی شد، به این نتیجه رسیدند که مقادیر HDL با تعداد سلول لایدیگ همبستگی مشتی داشته، ولی مقادیر تری‌گلیسرید با میزان ضخامت اپتیلیوم زایای بیضه همبستگی منفی دارد (۱۹). میزان غلظت پلاسمایی لیپوپروتئین HDL با تعداد سلول‌های لایدیگ ($t=0/01$, $p<0.01$)، تعداد سلول‌های اسپرم‌اتوژنی ($t=0/02$, $p<0.02$)، ضخامت اپتیلیوم لوله‌های اسپرم‌ساز ($t=0/001$, $p<0.001$) و قطر لوله‌های سمنینی فر ($t=0/02$, $p<0.02$) همبستگی مثبت نشان داد، و با تعداد رگ‌های خونی و وزن بیضه همبستگی نداشت. در راستای نتایج حاضر، مطالعات قبلی نشان داده‌اند که در موش سلول‌های لایدیگ بیضه برای استروئیدوژن عدتاً کلسترول موجود در HDL را مورد استفاده قرار می‌دهد (۱۳)، مهم ترین دلایلی که در مورد به کارگیری HDL در مقایسه با سایر لیپوپروتئین‌های پلاسمما در بافت بیضه می‌توان گفت: الف- ساختار بیوشیمیای HDL به گونه‌ای است که در مقایسه با سایر لیپوپروتئین‌ها دارای بیشترین درصد فسفولیپید و کمترین درصد تری‌گلیسرید است (۱۹). بنابراین هیدرولیز HDL توسط لیپاز منجر به تولید مقادیر فراوانی فسفولیپید می‌شود. فسفولیپید حاصله به راحتی از سدهای لیپیدی اکثر بافت‌ها از جمله بیضه عبور می‌نماید (۱). ب- یکی دیگر از علل قابل طرح برای اثرات مستقیم میزان HDL بر روی فعالیت آندوکرینی بافت بیضه، تعداد گیرنده‌های بافتی و تئوری آندوسیتوز وابسته به گیرنده

جدول ۲- میانگین \pm انحراف معیار فراسچجه‌های پروفایل لیپیدی خروس‌های مادر گوشتشیTable 2. The mean \pm SD of lipid profiles parameters in broiler breeder roosters

میانگین \pm انحراف معیار	فراسچجه‌ها
۱۳۱/۸ \pm ۳/۰۱	کلسترول (mg/dL)
۳۹/۶۶ \pm ۴/۰۳	تری‌گلیسرید (mg/dL)
۱۰۰/۵۰ \pm ۴/۱۸	کلسترول با چکالی بالا (mg/dL)
۱۶/۲۳ \pm ۱/۸۵	کلسترول با چکالی پایین (mg/dL)
۱۷۷/۹۱ \pm ۴/۱۲	کلوك (mg/dL)

جدول ۳- میانگین \pm انحراف معیار فراسنجه‌های بافت‌شناسی بیضه در خروس‌های مادر گوشتیTable 3. The mean \pm SD of histological parameters in broiler breeder roosters

فراسنجه‌ها	میانگین \pm انحراف معیار
وزن بیضه (kg)	۲۱/۹۱ \pm ۴/۶۲
قطر لوله اسپرم‌ساز (μm)	۲۱/۸۵ \pm ۲۱/۷
ضخامت اپیتلیوم لوله اسپرم (μm)	۵۵/۵۳ \pm ۲/۸۷
شمار اسپرماتوگونی (n) ^{††}	۱۹۲/۷۹ \pm ۱۱/۲۳
شمار سلول‌های لایدیگ (n) ^{††}	۱۷۷/۹۱ \pm ۴/۱۲
شمار رگ‌های خونی (n) ^{††}	۲/۱۱ \pm ۰/۱۰

[†] بر پایه میانگین مقطع عرضی ۲۰ لوله اسپرم‌ساز در هر پرنده محاسبه شده است.^{††} بر پایه میانگین ۲۰ تسوییر (۳۹ میلی‌متر مربع) محاسبه شده است.

در نتیجه جاقی، مقاومت به انسولین ایجاد می‌شود و برای تنظیم گلوکز انسولین بیشتری ترشح می‌شود انسولین ترشح شده اضافی، باعث تجمع چربی در بافت چربی می‌شود. بنابراین حساس نبودن به انسولین سبب بروز چاقی و دیابت می‌شود (۳۱). با توجه به موارد ذکر شده به طور خلاصه می‌توان گفت گلوکز بالا و متعاقب آن افزایش سطح انسولین ممکن است با افزایش لیبوپرتوپلز و تجمع چربی در بافت چربی (توده چربی به عنوان یک غده درون ریز عمل کرده) باعث تضییف تولیدمثل شود. همچنان مقطع بافتی از بیضه خروس‌های مورد مطالعه برای مشاهده جزئیات ساختاری در شکل ۱ (A, B و C) نشان داده شده است.

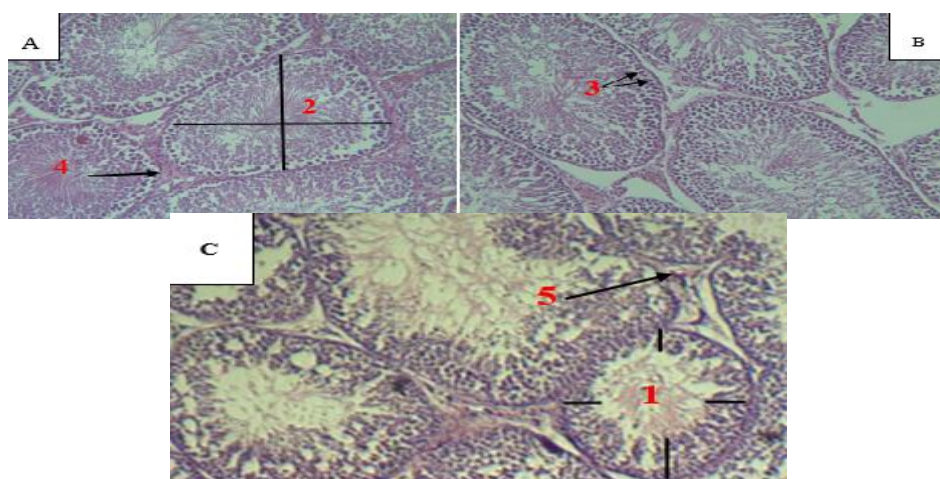
میزان غلظت پلاسمایی گلوکز با تعداد سلول‌های لایدیگ (t= -۰/۶۹, p<0/۰۱)، تعداد سلول‌های اسپرماتوگونی (t= -۰/۷۲, p<0/۰۱)، ضخامت اپیتلیوم لوله‌های اسپرم ساز (t= -۰/۸۳, p<0/۰۱) و قطر لوله‌های سیمینی فر (t= -۰/۸۲, p<0/۰۱) همبستگی منفی و با تعداد رگ‌های خونی و وزن بیضه همبستگی نداشت. شواهد زیادی وجود دارد که نشان می‌دهد تغییر گلوکز خون و در پی آن تغییر سطوح انسولین پلاسمای تنظیم کننده‌های مهمی بر میزان مصرف خوارک و چربی بدن هستند. حیوانات و انسان‌های چاق سطوح انسولین پلاسمای بالاتری دارند و در پاسخ به مصرف خوارک انسولین بیشتری در مقایسه با افراد لاگر از خود ترشح می‌کنند. وقتی

جدول ۴- مقادیر ضریب همبستگی بین متغیرهای پروفایل لیپیدی خون و شاخص‌های بافت بیضه

Table 4. The correlation coefficient between blood lipid profile variables and testis tissue indexes

متغیرها	کلسسترول (mg/dL)	تری گلیسرید (mg/dL)	لیپوپرتوپلز با چگالی بالا (mg/dL)	لیپوپرتوپلز با چگالی پایین (mg/dL)	گلوکز (mg/dL)
تعداد اسپرماتوگونی (μm)	-0/۶۸ ***	-0/۸۰ **	-0/۸۰ ***	-0/۳۶ ns	-0/۵۷ ns
قطر لوله‌های اسپرم‌ساز (μm)	-0/۷۹ ***	-0/۷۶ **	-0/۷۱ **	-0/۲۳ ns	-0/۰۴ ns
تعداد رگ خونی	0/۹۲ ***	0/۶۲ **	0/۸۲ ***	-0/۴۰ ns	0/۷۳ **
تعداد سلول لایدیگ	-0/۳۹ ***	-0/۶۹ **	-0/۴۷ ns	-0/۳۴ ns	-0/۴۶ ns
وزن بیضه (mg)	-0/۷۲ **	-0/۸۲ ***	-0/۸۳ ***	-0/۲۳ ns	-0/۵۹ **

*: معنی‌دار در سطح 0.05, **: معنی‌دار در سطح 0.01, ***: معنی‌دار در سطح 0.001, ns: غیرمعنی‌دار



شکل ۱ (A, B و C)- مقطع بافتی بیضه خروس‌های مادر گوشتی مورد آزمایش. ۱- ضخامت بافت پوششی اپیتلیوم لوله‌های اسپرم‌ساز-۲- قطر لوله اسپرم‌ساز-۳- اسپرماتوگونی-۴- سلول لایدیگ-۵- سلول خونی. بزرگ نمای ۱۰۰ میکرومتر

Figure 1. (A, B and C): Tissue sections of testes of broiler breeder roosters Tested. 1: Seminiferous tubule epithelium thickness, 2: Seminiferous tubule diameter, 3: spermatogonia, 4: Leydig cells, 5: vessel blood. Magnification: 100 X. Scale bar: 50 μm .

مطالعه کیفیت اسپرماتوزئید به ویژه تحرک و زنده‌مانی بود، دلیل این امر عدم دسترسی به امکانات در محل انجام پژوهش حاضر بود. بنابراین در آینده مطالعات بیشتری لازم است تا با استفاده از آن بتوان در مورد ارتباط احتمالی پروفایل لیبیدی پلاسمای با حجم، تحرک اسپرم و زنده‌مانی اسپرم اظهار نظر نمود.

به طور کلی نتایج این پژوهش نشان می‌دهد که HDL نقش موثری بر بهبود عملکرد و توسعه ساختار بافت بیضه دارد، ولی افزایش غلظت گلوکز، تری‌لیپیدرید، LDL ممکن است از طریق اختلال در عملکرد و نیز ساختار بافت بیضه، قدرت باروری و عملکرد تولید مثلی خروس‌های مادر گوشتی را کاهش دهد.

هرچند نتایج این تحقیق بیانگر ارتباط پروفیل‌های لیبیدی با شاخص‌های بافت شناسی بیضه در خروس مادر گوشتی است، اما از جمله از کاستی‌ها این پژوهش، عدم کنترل کافی بر روی نوع ترکیبات تقدیمه‌ای به ویژه اجزاء ویتامینی جیره خوارکی پرنده‌گان مورد مطالعه قبیل از بلوغ می‌باشد؛ به عبارتی دیگر نویسنده‌گان این تحقیق نمی‌توانند به طور قطع و یقین در مورد تمام نیازهای تقدیمه‌ای پرنده‌گان مورد مطالعه در طول دوران قبل از بلوغ، زمان بلوغ و بعد از بلوغ تولید مثلی اظهار نظر کنند؛ بهتر بود جیره خوارکی پرنده‌گان مورد آزمایش از اولین روز پس از تولد تا هنگام بلوغ و تولید مثل جنسی کاملاً تحت نظارت دقیق قرار می‌گرفت. محدودیت دیگر این مطالعه عدم اخذ نمونه منی از پرنده‌گان تحت بررسی مطالعه و عدم

منابع

1. Bauchart, D. 1993. Lipid absorption and transport in ruminants. *Journal of Dairy Science*, 76(12): 3864-3881.
2. Cerolini, S., P. Surai, A. Maldjian, T. Gliozi and R. Noble. 1997. Lipid composition of semen in different fowl breeders. *Poultry and Avian Biology Reviews*, 8(3-4): 141-148.
3. Chitra, K.C. and P.P. Mathur. 2004. Vitamin E prevents nonylphenol-induced oxidative stress in testis of rats. *Indian Journal Experimental Biology*, 42(2): 220-223.
4. Diaz-Fontdevila, M. and E. Bustos-Obregon. 1993. Cholesterol and polyunsaturated acid enriched diet: effect on kinetics of the acrosome reaction in rabbit spermatozoa. *Molecular Reproduction and Development*, 35(2): 176-180.
5. Davis, H.R.P., K.B. Alton, R.E. Burrier and R.W. Watkins. 2001. The synergistic hypocholesterolemic activity of the potent cholesterol absorption inhibitor, ezetimibe, in combination with 3-hydroxy-3-methylglutaryl coenzyme a reductase inhibitors in dogs. *Metabolism-Clinical and Experimental*, 50(10): 1234-1241.
6. Erdemir, F., D. Atilgan, F. Markoc, O. Boztepe, B. Suha-Parlaktas and S. Sahin. 2012. The effect of diet induced obesity on testicular tissue and serum oxidative stress parameters. *Actas Urologicas Espanolas* (English Edition), 36(3): 153-159.
7. Ergun, A., S.K. Köse, K. Aydos, A. Ata and A. Avci. 2007. Correlation of seminal parameters with serum lipid profile and sex hormones. *Archives of Andrology*, 53(1): 21-23.
8. Fazeliour, S. 2013. Correlation of serum levels of testosterone, and anatomical and histomorphometrical indices of the testis with lipids and lipoproteins profile in the mice. *Medical Science Journal of Islamic Azad University-Tehran Medical Branch*, 23(2): 100-106 (In Persian).
9. Farah, F. and R. Samira. 2018. The effect of alcoholic extract of anethum graveolens seed on the changes of testis tissue, sperm parameters in hypercholesterolemic male rats. *Arak Medical University Journal (AMUJ)*, 20(127): 74-89 (In Persian).
10. Fathi, M., A. Nik Guo and M. Mehri. 2016. Effects of cinnamon powder levels on performance, antioxidant status, meat oxidative stability, enzymes activity and some blood parameters in broiler chickens. *Research on Animal Production*, 8(17): 18-25 (In Persian).
11. Gwynne, J.T., B. Hess, T. Hughes, R. Rountree and D. Mahaffee. 1984. The role of serum high density lipoproteins in adrenal steroidogenesis. *Endocrine Research*, 10(3-4): 411-430.
12. Havel, Richard J. 1995. Introduction: structure and metabolism of plasma lipoproteins. *The Metabolic and Molecular Bases of Inherited Disease*, 1841-1851.
13. Huang, F., H. Ning, Q.Q. Xin, Y. Huang, H. Wang, Z.H. Zhang and D.Q. Ye. 2009. Melatonin pretreatment attenuates 2-bromopropane-induced testicular toxicity in rats. *Toxicology*, 256(1-2): 75-82.
14. Islam, M.N., Z.B. Zhu, M. Aoyama and S. Sugita, 2010. Histological and morphometric analyses of seasonal testicular variations in the Jungle Crow (*Corvus macrorhynchos*). *Anatomical Science International*, 85(3): 121-129.
15. Kelso, K.A., S. Cerolini, B.K. Speake, L.G. Cavalchini and R.C. Noble. 1997. Effects of dietary supplementation with -linolenic acid on the phospholipid fatty acid composition and quality of spermatozoa in cockerel from 24 to 72 weeks of age. *Journal of Reproduction and Fertility*, 110(1): 53-59.
16. Khan, R.U. 2011. Antioxidants and poultry semen quality. *World's Poultry Science Journal*, 67(2): 297-308.
17. Maboundou, J.C., M. Fofana, J. Fresnel, J. Bocquet and D. Le Goff. 1995. Effect of lipoproteins on cholesterol synthesis in rat sertoli cells. *Biochemistry and Cell Biology*, 73(1-2): 67-72.
18. Monfared, A.L. and A. Nooraei. 2016. Correlation of Serum Lipids Profile with Anatomical and Histomorphometrical Parameters of the Testes in the Rat. *Journal of Ilam University of Medical Sciences*, 24(3): 59-69 (In Persian).
19. Monfared, A.L., A.J. Zadeh, J. Yadi and R. Hooshmandfar. 2012. Correlation of Serum Lipid Profile with Testosterone Levels and Histological Structure of the Testes in the Goat. *Journal of Experimental Animal Biology*, 2(1): 33-41.

20. Morgan, D.H., O. Ghribi, L. Hui, J.D. Geiger and X. Chen. 2014. Cholesterol-enriched diet disrupts the blood-testis barrier in rabbits. *American Journal of Physiology-Endocrinology and Metabolism* 307(12): 1125-1130.
21. Orth, J.M., G.L. Gunsalus, A.A. Lampertl. 1988. Evidence from Sertoli cell-depleted rats indicates that spermatid number in adults depends on numbers of Sertoli cells produced during perinatal development. *Endocrinology*, 122(3): 787-794.
22. Padron, R.S., J. Mas, R. Zamora, F. Riverol, M. Licea, L. Mallea and J. Rodriguez. 1989. Lipids and testicular function. *International Urology and Nephrology*, 21(5): 515-519.
23. Rana, A.P.S., G.C. Majumder, S. Misra and A. Ghosh. 1991. Lipid changes of goat sperm plasma membrane during epididymal maturation. *Biochimica et Biophysica Acta (BBA)-Biomembranes*, 1061(2): 185-196.
24. Robinson, F.E., J.L. Wilson, M.Y. Yu, G.M. Fasenko and R.T. Hardin, 1993a. The relationship between body weight and reproductive efficiency in meat-type chickens. *Poultry Science*, 72(5): 912-922.
25. Rifai, N.B.P. and J.J. Albers. 1999. Lipids, lipoproteins and apolipoproteins. In: Burtis CA, Ashwood ER, eds. *Tietz Textbook of Clinical Chemistry*, 3nd ed. Philadelphia: W.B Saunders Company, 809-861.
26. Røder, M.E., J.D. Porte, R.S. Schwartz and S.E. Kahn. 1998. Disproportionately elevated proinsulin levels reflect the degree of impaired B cell secretory capacity in patients with noninsulin-dependent diabetes mellitus. *The Journal of Clinical Endocrinology & Metabolism*, 83(2): 604-608.
27. Schisterman, E.F., S.L. Mumford, Z. Chen, R.W. Browne, D. Boyd Barr, S. Kim and G.M. Buck Louis. 2014. Lipid concentrations and semen quality: the life study. *Andrology*, 2(3): 408-415.
28. Speake, B.K., P.F. Surai, J.A. Rooke, S.D. Vriese and A. Christophe. 2003. Regulation of avian and mammalian sperm production by dietary fatty acids. *Male Fertility and Lipid Metabolism*, 96-117.
29. Sanaa, R., W.G. Galaly, H. Kamal and A. Amin. 2014. Effects of orlistat and herbal mixture extract on brain, testes functions and oxidative stress bio markers in a rat model of high fat date. *Beni-Suef University Journal of Basic and Applied Sciences*, 3(2): 93-105.
30. Valavi, M., H. Sarir, H. Farhang Far, A. Zarban, S.J. Hosseini-Vashan and H.N. Younosi. 2016. Evaluation the effect of garlic and cinnamon powder on performance, antioxidant system, blood parameters of broilers under heat stress conditions. *Research on Animal Production*, 7(14): 20-10 (In Persian).
31. Woods, S.C., R.J. Seeley, D. Porte and M.W. Schwartz. 1998. Signals that regulate food intake and energy homeostasis. *Science*, 280(5368): 1378-1383.

Correlation of Plasma Lipids' Profile with Testicular Histology Parameters in Broiler Breeder Roosters

Amin Kazemizadeh¹, Ahmad Zare Shahneh², Mehdi Heidari³,
Mahbub Mohammadi³, Mahdi Zhandi⁴ and Zarbakht Ansari Pirsaraei⁵

1, 3 and 4- Graduated M.Sc. Student, Ph.D. Students and Associated Professor, Department of Animal Science,
University College of Agriculture & Natural Resources, University of Tehran

2- Professor, Department of Animal Science, University College of Agriculture & Natural Resources, University of
Tehran (Corresponding author: azareh@ut.ac.ir)

5- Associated Professor, Department of Animal Science, Sari Agricultural Sciences and Natural Resources University
Received: May 21, 2018 Accepted: May 25, 2018

Abstract

The aim of this study was to determine correlation of plasma lipids profile with testicular histology parameters in Ross-308 broiler breeder roosters. This study was performed on 12 male ross 308 broiler breeder. Blood samples were collected from a wing vein to measure plasma lipid profiles (cholesterol, triglyceride, LDL and HDL lipoproteins, cholesterol, and glucose). The concentrations of cholesterol, triglyceride, LDL, HDL were measured by spectrophotometric method using commercial kits of pars azmoon co. though, glucose concentration was measured by electrochemical method using glucose monitoring system. For testicular histology study (endocrine parameters of the testis); the 5 μ m paraffin cross sections of testis tissue was used. The data were analyzed by the Pearson correlation test. Our results showed that the plasma HDL values were positively correlated with the number of leydig cells ($r=0.73$; $p<0.01$), the number of spermatogonia cells ($r=0.92$; $p<0.001$), seminiferous epithelium thickness ($r=0.86$; $p<0.001$) and diameter of seminiferous tubules ($r=0.62$; $p<0.001$). Also, plasma cholesterol and glucose values were negatively correlated with the number of the leydig cells ($r=-0.78$; $p<0.01$: $r=-0.69$; $p<0.001$), spermatogonia cells number ($r=-0.68$; $p<0.001$: $r=-0.72$; $p<0.01$), seminiferous epithelium thickness ($r=-0.80$; $p<0.01$: $r=-0.82$; $p<0.001$), and diameter of seminiferous tubules ($r=-0.80$; $p<0.01$: $r=-0.82$; $p<0.001$). Plasma LDL value also had a negative correlation with the number of spermatogonia cells ($r= -0.39$; $p<0.001$), and also, diameter of seminiferous tubules ($r= -0.69$; $p<0.01$). Plasma triglyceride values was negatively correlated with the number of spermatogonia cells ($r= -0.79$; $p<0.001$), and seminiferous epithelium thickness ($r= -0.76$; $p<0.01$). In conclusion, HDL lipoprotein had a positive correlation with testicular histology indexes, on the other hand, triglyceride, cholesterol, lipoprotein LDL, and glucose showed a negative correlation with that.

Keywords: Histology, Testis, Lipid, Plasma, Breeder roosters